

Woda aktywowana

Diana Wojtkowiak 2026

Rodzaje wody aktywowanej:

Woda heksagonalna

- woda z topniejącego lodu
- magnetyzery
- aktywacja wirowa

Woda z informacją ORME

- Jacek Zdrojewski
- Johann Grander
- święte źródła

Woda z wprowadzoną informacją homeopatyczną

- orgon
- laser
- pole elektromagnetyczne
- zimna plazma

Woda z dodatkowymi jonami

- elektroliza
- aktywacja promieniowaniem wysokoenergetycznym
- kryształy, minerały, metale

Методы активации воды:

- магнитный (лучше всего неодимовых),
- механический (через создание вихрей), гидродинамический,
- Электролизный (катод-анод, пропускаем ток),
- пьезоэлектрический,
- кавитационный,
- термический (талая вода в основном),
- минералами-металлами (через настаивание на минералах-кристаллах - кварц, шунгит, кремний, золото-серебро, всё что угодно).

Энерго-информационный перенос:

- гомеопатия,
- воздействие оргона,
- когерентное излучение лазера,
- электромагнитные поля,
- СВЧ, КВЧ,
- генераторы форм (пирамиды, тетраэдры, кристаллы Радика Богданова и т.д.),
- торсионные потоки и поля,
- ментальные воздействия,
- естественные потоки и места силы, "лунные", "солнечные" ванны, зарядка воды в полнолуние.

Wodę można aktywować różnymi sposobami:

Woda z topniejącego lodu

Magnetyzowanie

Odgazowanie przez gotowanie i szybkie ochłodzenie

Ogrzewanie w autoklawie - najlepiej do temperatury 400°C

Sonifikacja

Uderzenie elektrohydrauliczne

Dyspersja mechaniczna

Aktywacja promieniowaniem gamma

Aktywacja cząstkami naładowanymi (radioliza)

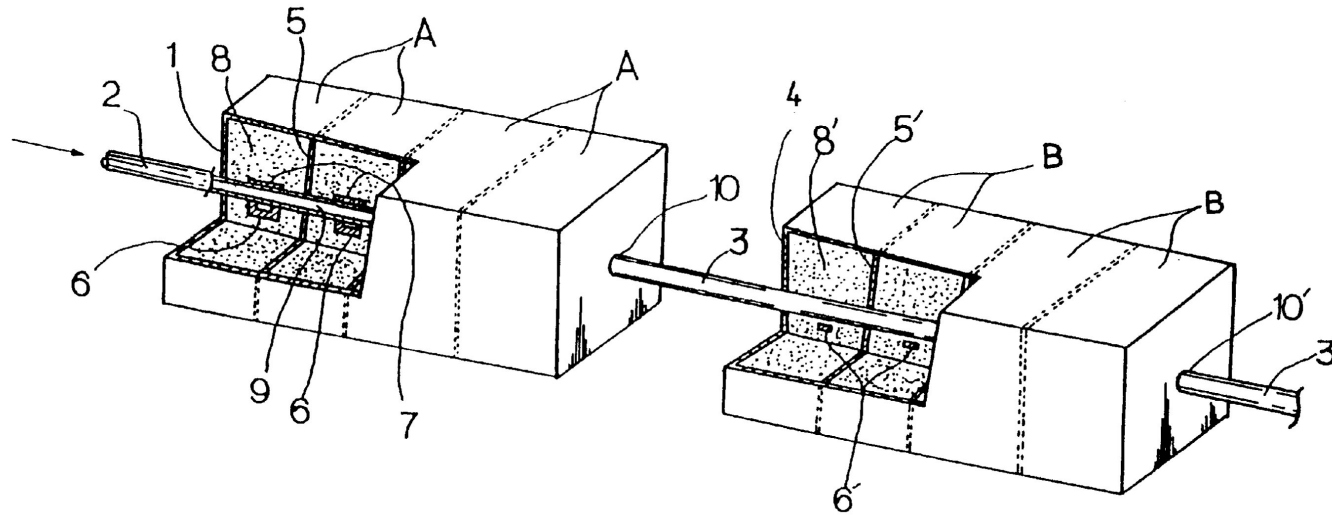
Aktywacja promieniowaniem ultrafioletowym (fotoliza)

Elektroliza

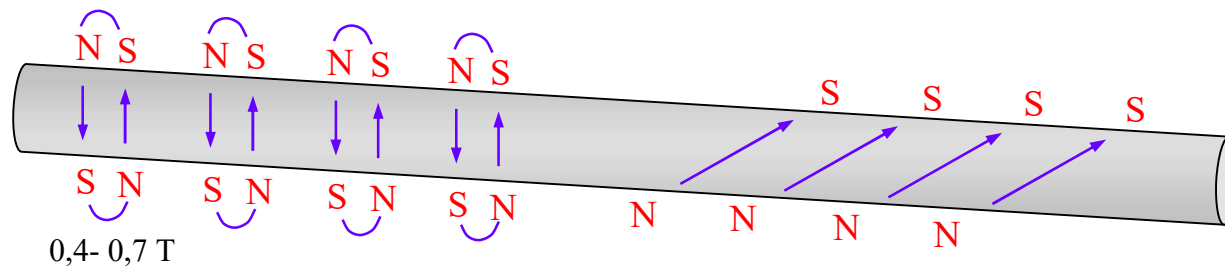
Woda z topniejącego lodu

Aktywność biologiczna utrzymywana 10-12h, przenikalność dielektryczna↑ 15-20 min., lepkość 3-6 dni.

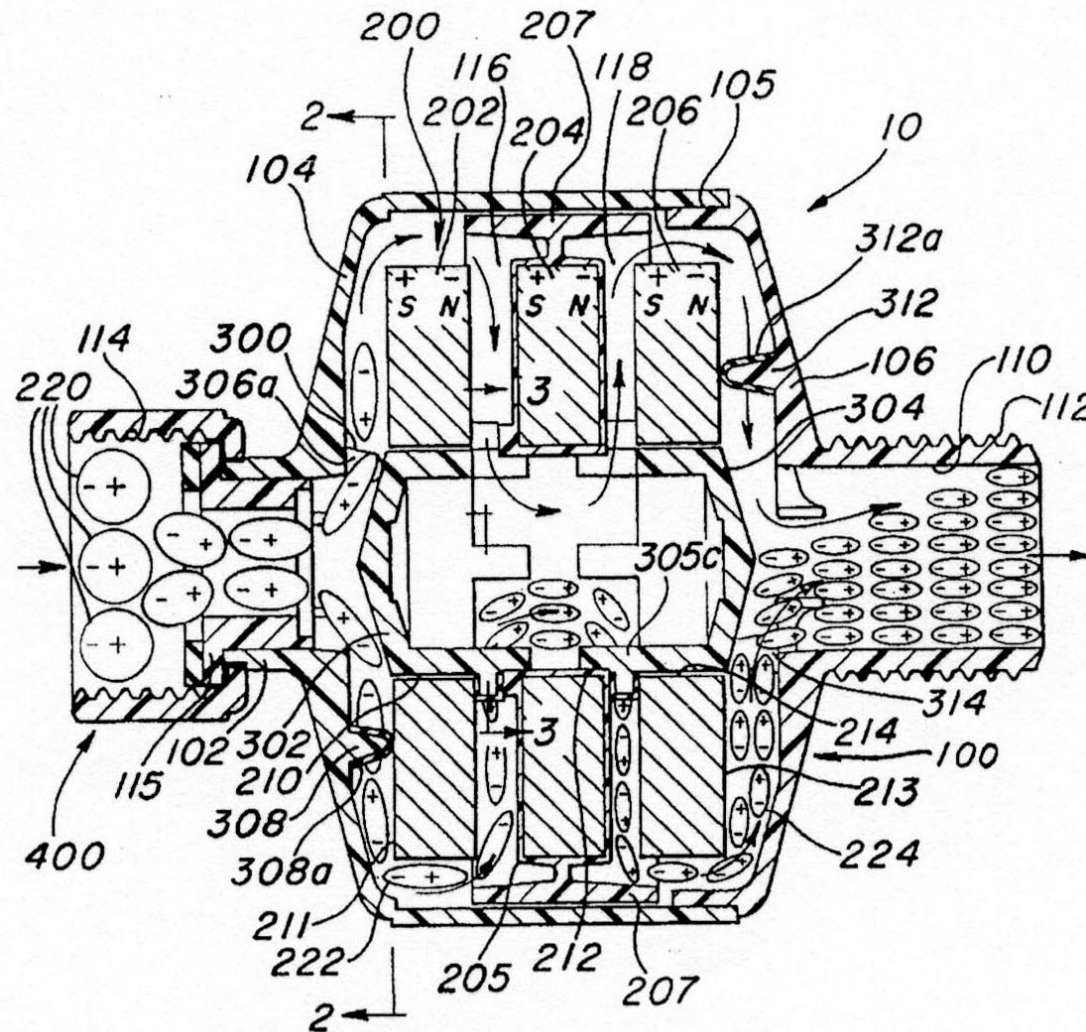
Woda magnetyzowana



WO9835913 Apparatus for preparing hexagonal water



MAGNETOHYDRODYNAMIC DEVICE



Magnetyzowanie

zmiana wielu właściwości fizyko-chemicznych - utrzymuje się kilka godzin.

(nie widać zmian fizykochemicznych w czystej wodzie bez żadnych domieszek)

Napięcie powierzchniowe σ roztworu heksadecylo-siarczanu sodu w wodzie 2x destylowanej $72 \downarrow 62$ mN/m. (zależność podobna do sinusoidalnej od natężenia pola magnetycznego)

zdolność rozpuszczania np. węglanu wapnia i manganu \uparrow

krystalizacja soli w roztworze a nie na ściankach wymiennicy ciepła

rozpuszczalność tlenu \uparrow (zwiększenie aktywności chemicznej tlenu)

zmiana przewodności elektrycznej, przenikalności dielektrycznej, lepkości.

Zmiana spektrum w podczerwieni w przypadku wody 2x destylowanej zawierającej tlen (zakres 3600 cm^{-1}). Przy braku tlenu nie ma zmiany.

Magnetyzowanie - napięcie powierzchniowe

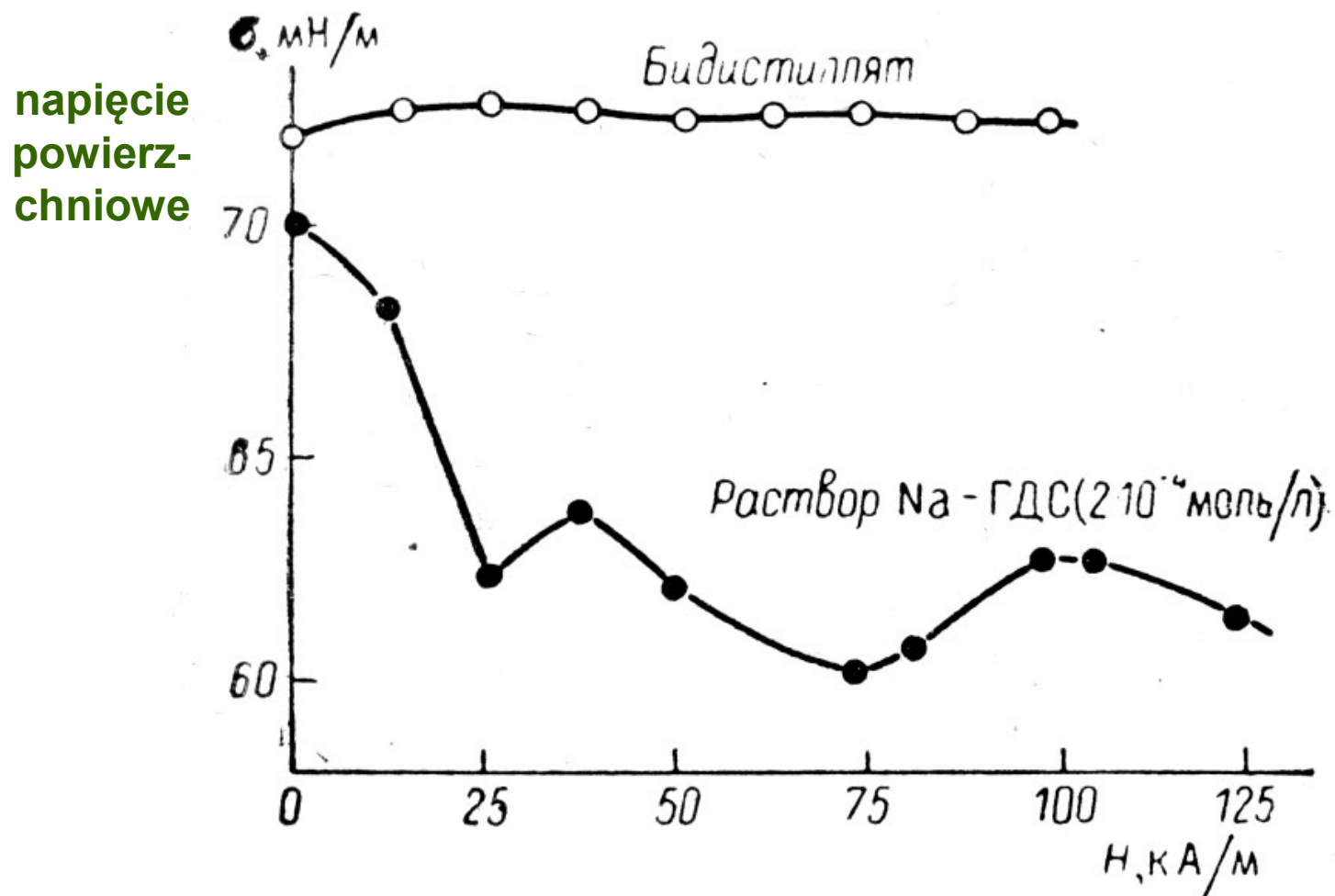


Рис 3 поле магнетичне

Magnetyzowanie - UV-VIS

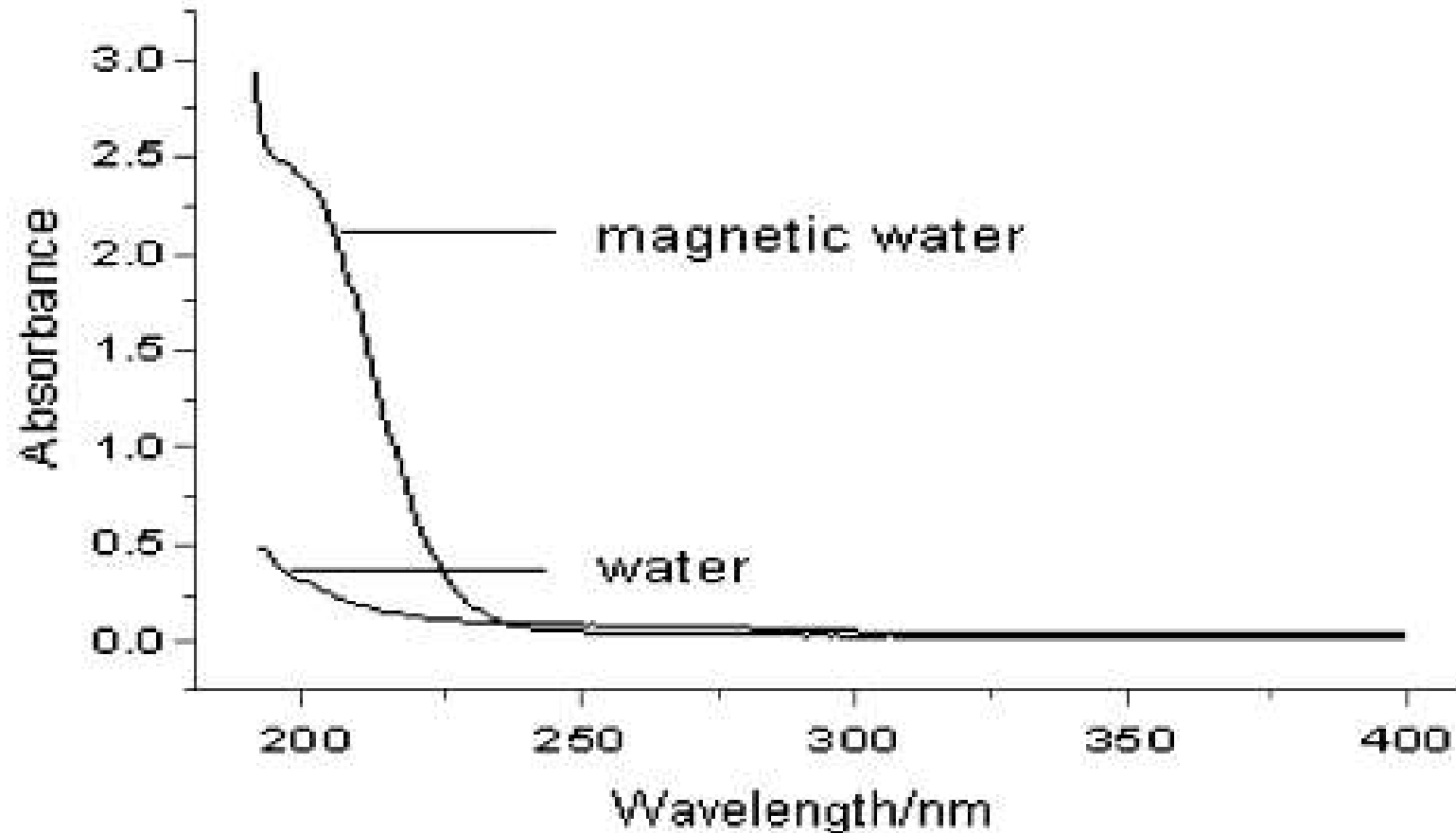


Fig. 5. Absorption spectra of ultraviolet light for magnetized and pure water.

P. Xiao-Fenga, D. Boa; The changes of macroscopic features and microscopic structures of water under influence of magnetic field; Physica B 403 (2008) 3571– 3577

Magnetyzowanie - Raman

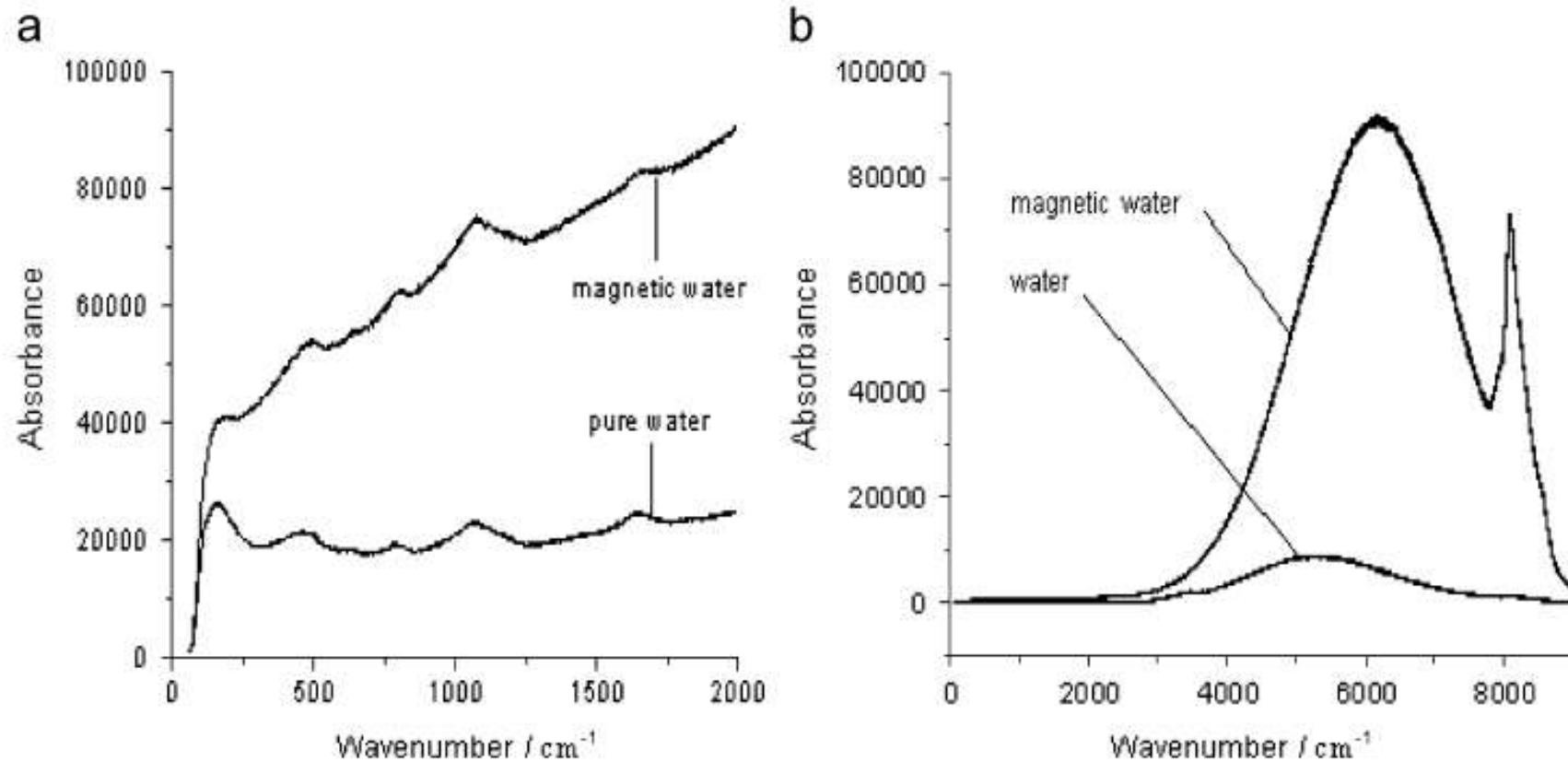


Fig. 4. The Raman spectra of magnetized water and pure water in the ranges of 20–1900 cm^{-1} (a) and 2000–9000 cm^{-1} (b), respectively.

Magnetyzowanie - podczerwień

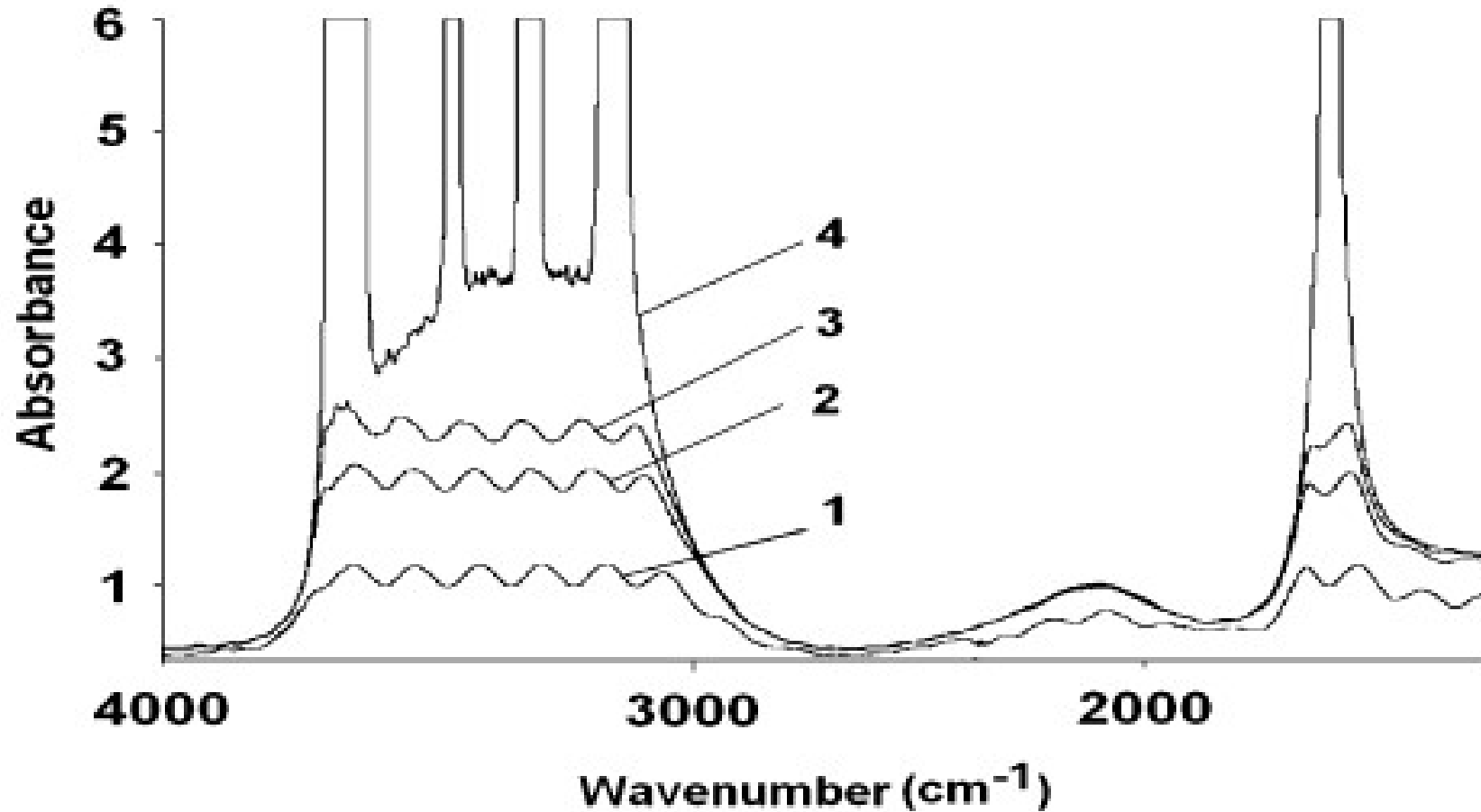
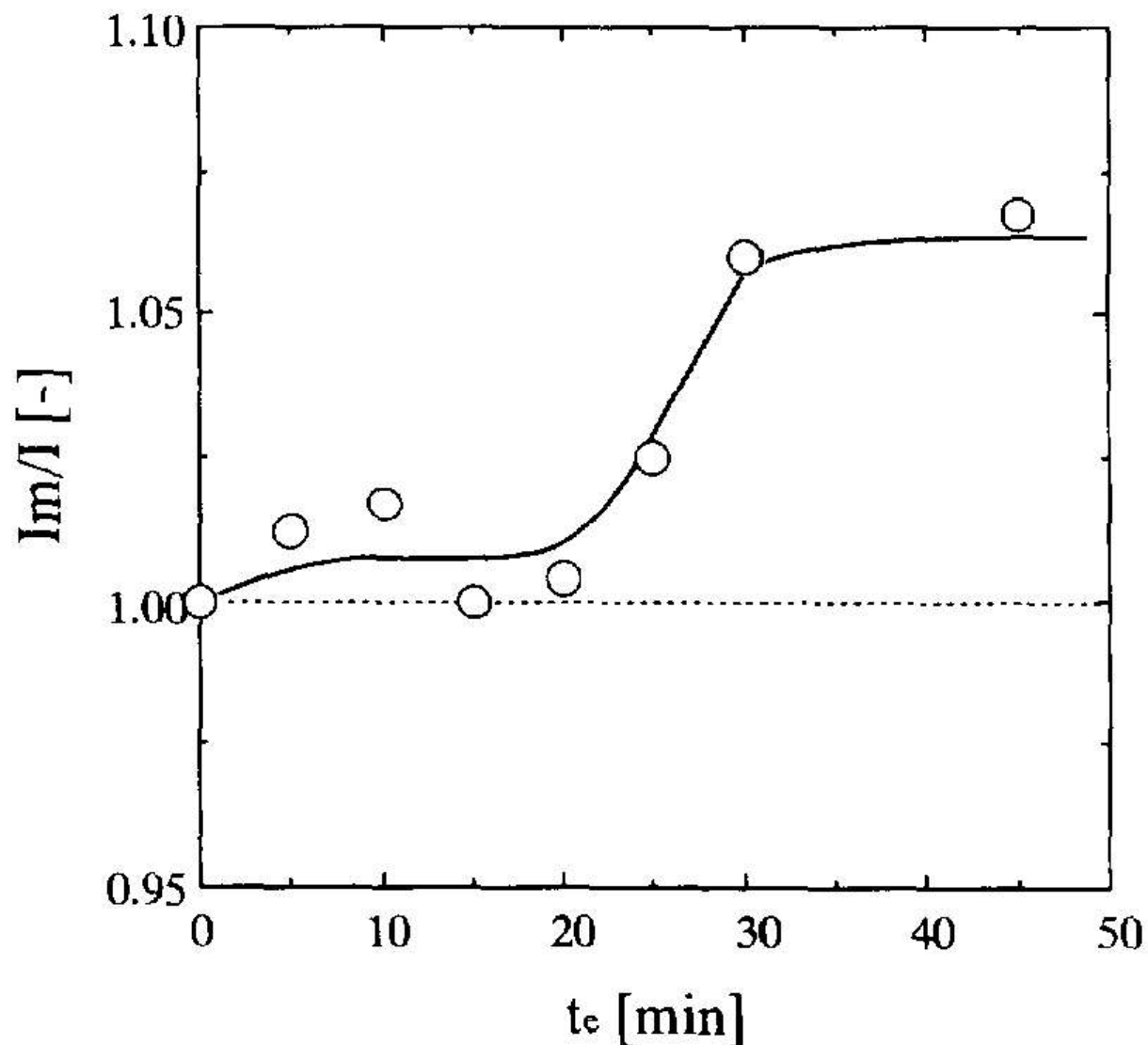


Fig. 1. The infrared spectra of absorption of water and its changes with magnetized time.

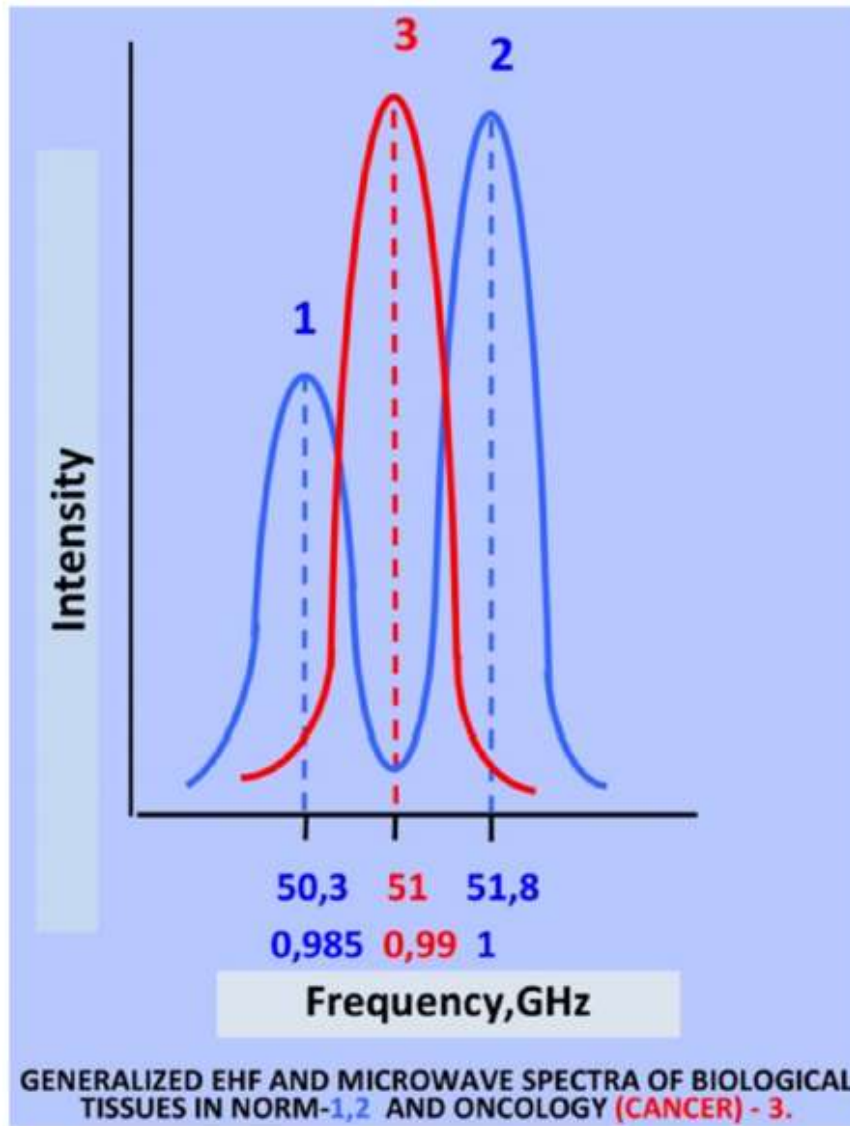
Magnetyzowanie - fluorescencja barwnika



2,9-anthroxystearic
acid

K.Higashitani, J. Oshitani, N. Ohmura; Effects of magnetic field on water investigated with fluorescent probes; Colloid and Surfaces A: Physicochemical and Engineering Aspects 109 (1996) 167-173.

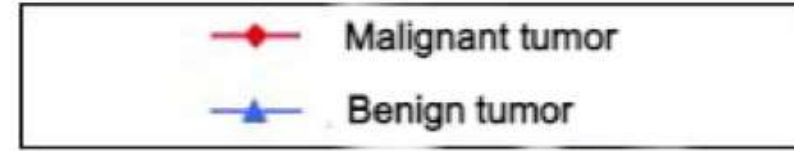
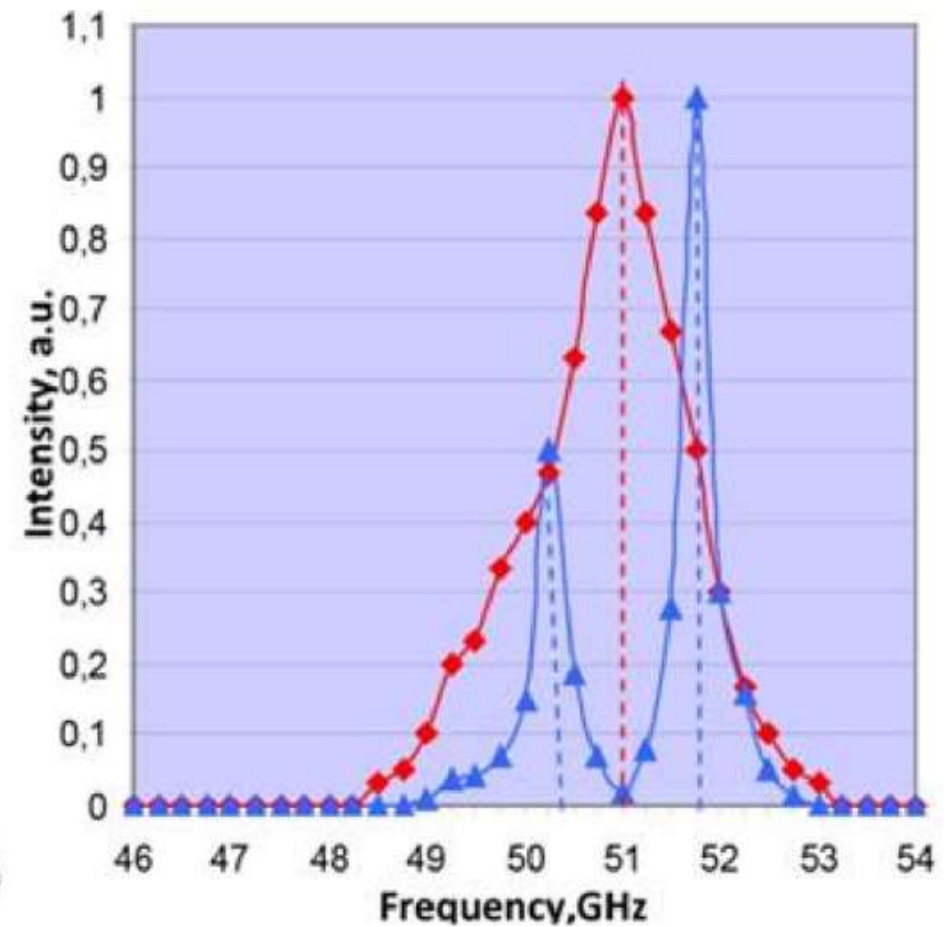
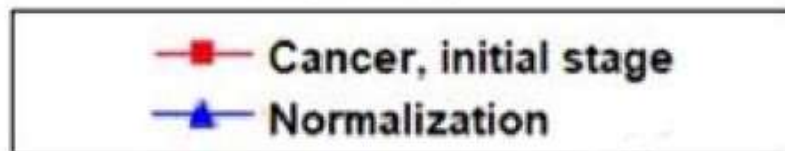
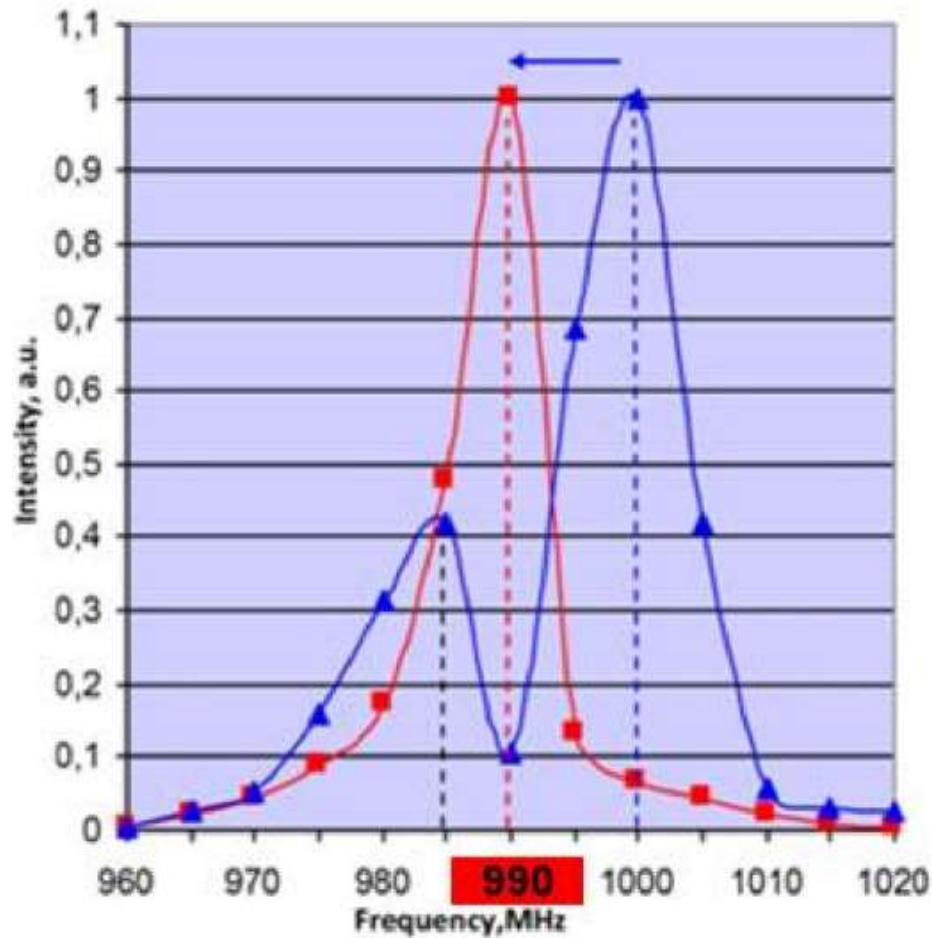
Struktura wody w komórkach nowotworowych



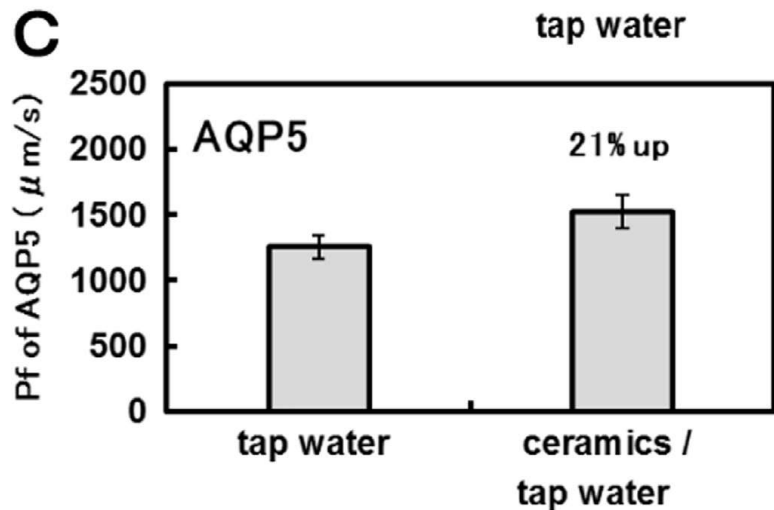
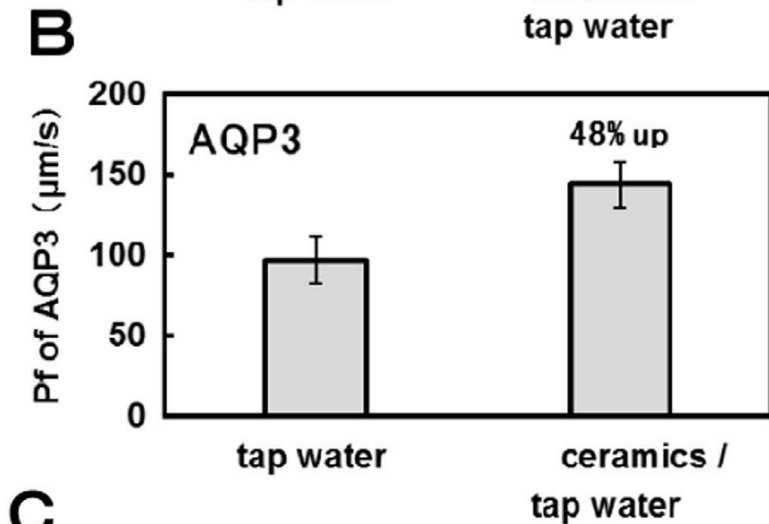
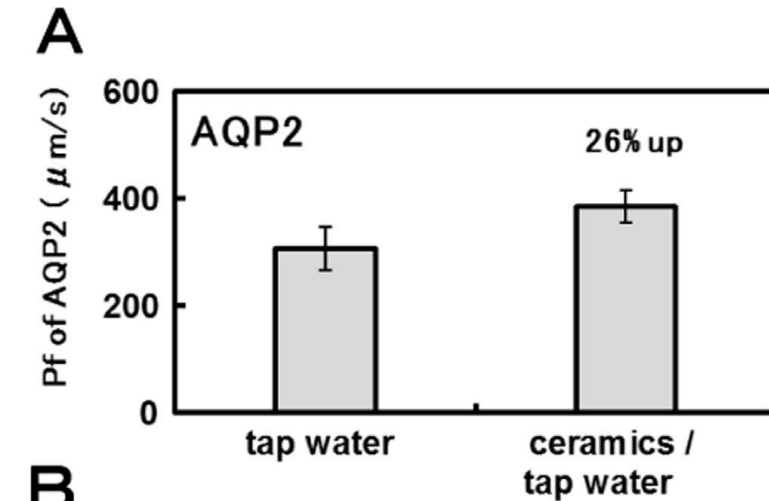
Vitali Kalantaryan, Radik Martirosyan,
Yuri Babayan, Voldemar Petrosyan;
Violation of molecular structure of
intracellular water as a possible cause of
carcinogenesis and its suppression by
microwave radiation (hypothesis);
Computational and Structural
Biotechnology Journal 21 (2023) 3437–
3442

Fig. 6. Generalized microwave and millimeter spectra for normal (1,2) and tumor (3) biological tissues.

Struktura wody w komórkach nowotworowych



Strukturyzacja ceramiką Akwaporyny



Ceramics

Water structure changes induced by ceramics can be detected by increased permeability through aquaporin

Tadao Kozumi, Yoshichika Kitagawa Biochemistry and Biophysics Reports 5 (2016) 353–358

ADR-4

ADR-System



Woda Grandera



Информационную Воду добывают из источника, обнаруженного на одном из рудников в горах Австрии. Добытую воду подвергают **электромагнитной обработке** запатентованным способом, разработанным Иоганном Грандером. Благодаря этому процессу обработки воде сообщается специальная частота колебания молекул, а также восстанавливаются естественные структурные тенденции ВОДЫ.

Living Water Technology

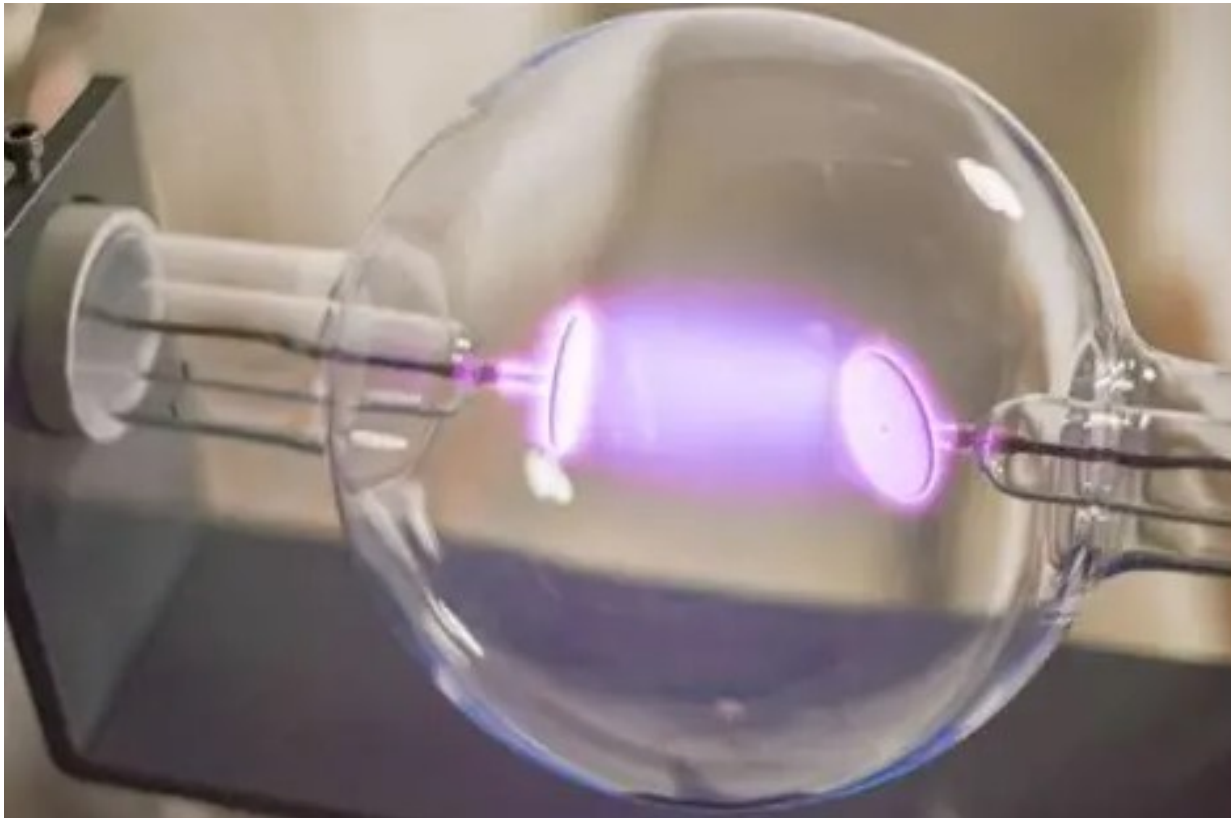


Living Water Technology



Zimna plazma w przestrzeni zamkniętej

lampa Rife'a - generator plazmowy
woda plazmowana



Woda plazmowana

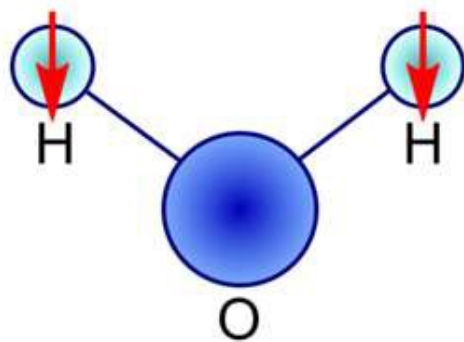


Preparat z elektronów

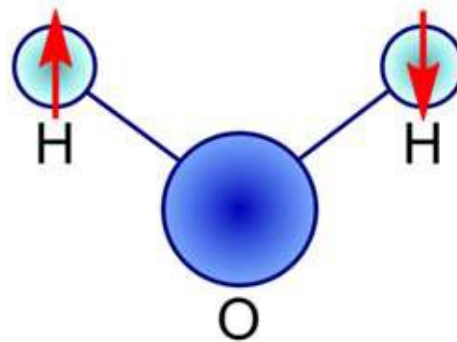
- działa przeciwbólowo**
- dodaje energii**
- zwiększa chęć do życia**
- zmniejsza nowotwory niezłośliwe**

Орто-вода і пара-вода

Орто- H_2O



Пара- H_2O



Orto-woda i para-woda

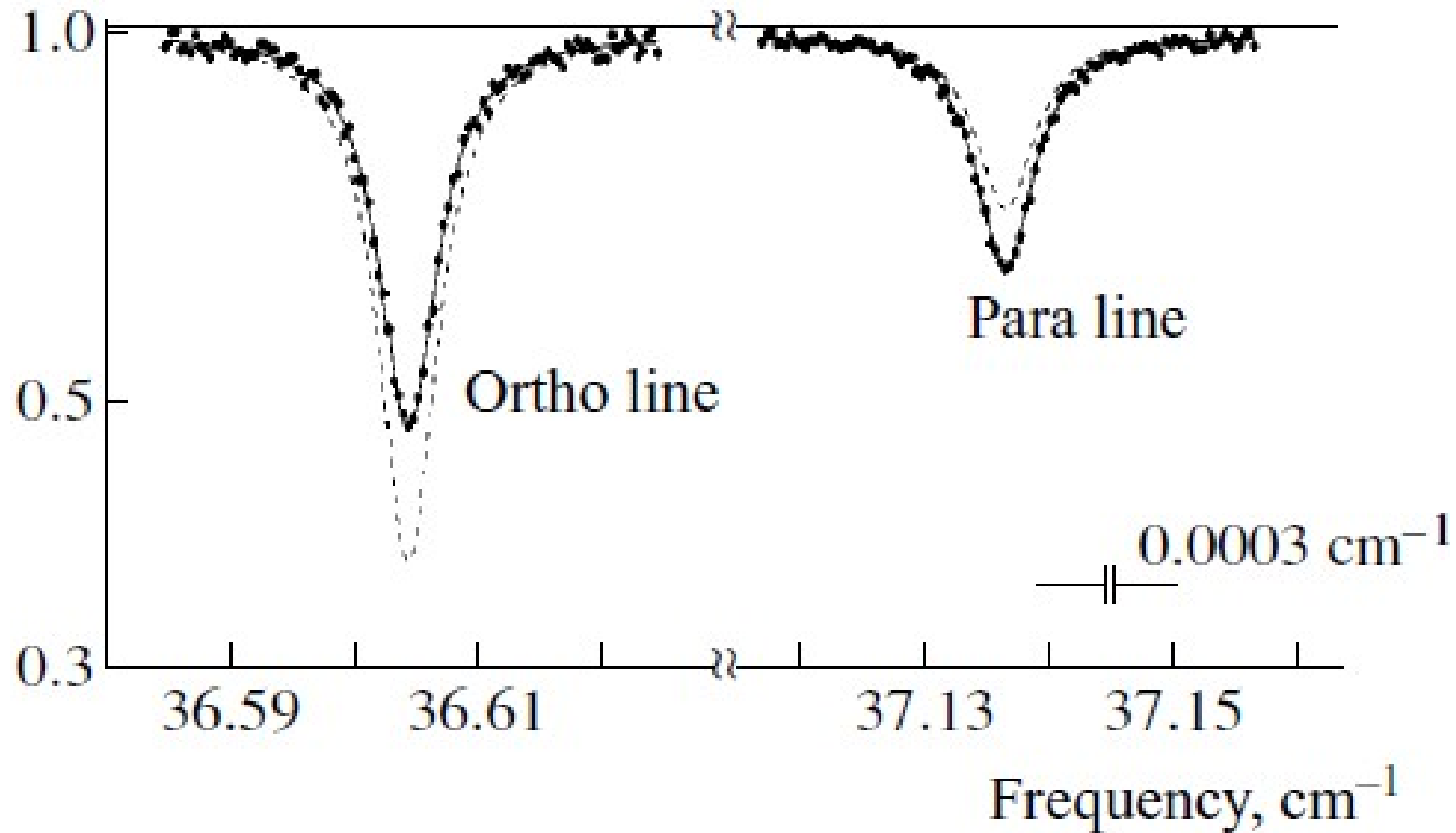


Fig. 2. Typical profiles of measured lines (dashed line) under the equilibrium and after six hours of the experiment.

Spin-Selective Adsorption of Water Vapor; A. A. Vigasin*, A. A. Volkov, V. I. Tikhonov**, and R. V. Shchelushkin; *Doklady Physics*, Vol. 47, No. 12, 2002, pp. 842–845